

Tubulicrinis glebulosus

(Fr.) Donk [as 'glebulosa'], *Fungus*, *Wageningen* 26(1-4): 14 (1956)

Foto Josué de Esteban



Hymenochaetaeaceae, Hymenochaetales, Agaricomycetidae, Agaricomycetes, Agaricomycotina, Basidiomycota, Fungi

Sinónimos homotípicos:

Thelephora calcea subsp. *glebulosa* Fr., *Elench. fung.* (Greifswald) 1: 215 (1828)
Corticium glebulosum (Fr.) Bres., *Fung. trident.* 2(11-13): 61 (1898)
Peniophora glebulosa (Fr.) Sacc. & P. Syd., *Syll. fung.* (Abellini) 16: 195 (1902)
Thelephora calcea var. *glebulosa* (Fr.) Sacc. & P. Syd., *Syll. fung.* (Abellini) 16: 195 (1902)
Kneiffia glebulosa (Fr.) Bres., *Annls mycol.* 1(2): 104 (1903)

Material estudiado:

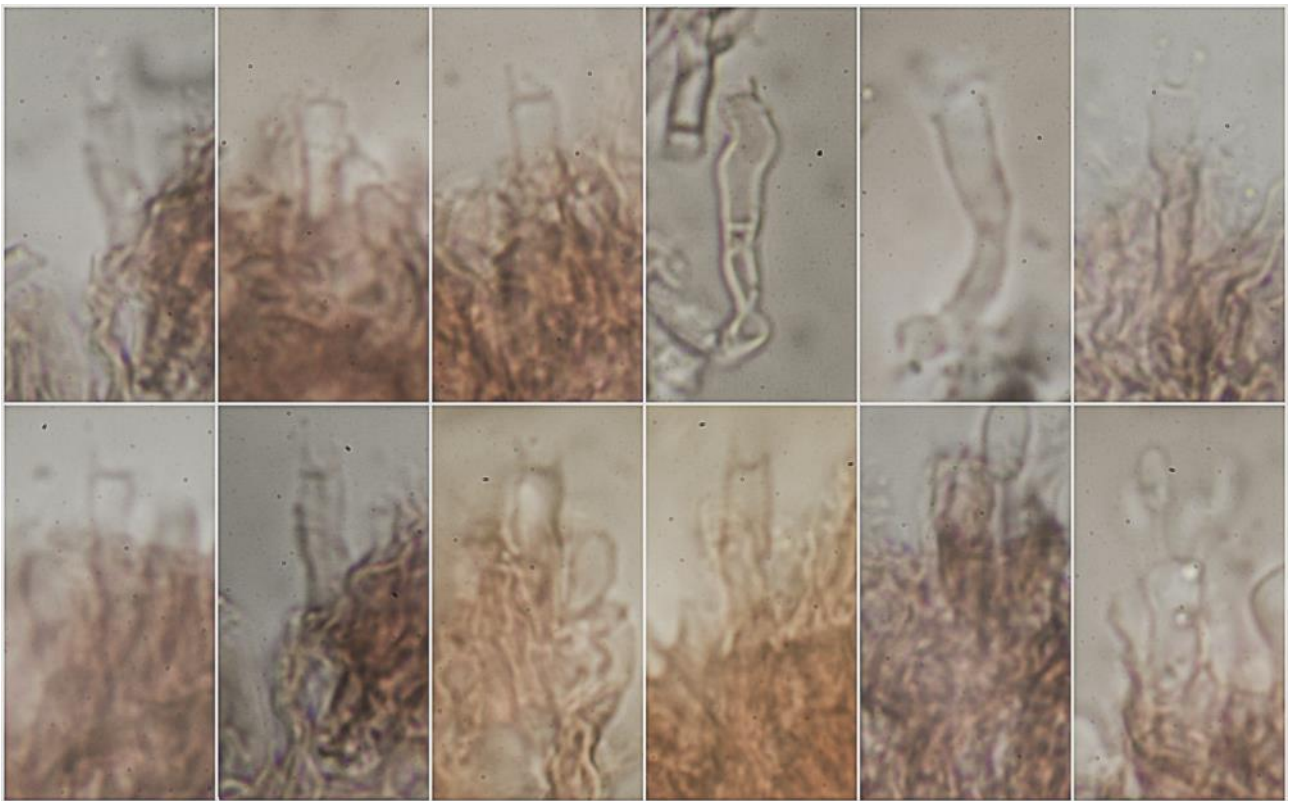
ESPAÑA, Andalucía, Huelva, Huelva, Isla de Saltés, 29SPB8217, 5 m, en madera de *Pinus pinea*, 15-I-2019, leg. Josué de Esteban, JA: 9657. No figura citada en MORENO ARROYO (2004) ni en GBIF (2023), por lo que podría ser la primera cita para Andalucía.

Descripción macroscópica:

Basidioma delgado, ceráceo, liso, efuso, resupinado, de color blanquecino a crema, con el margen filamentos.

Descripción microscópica:

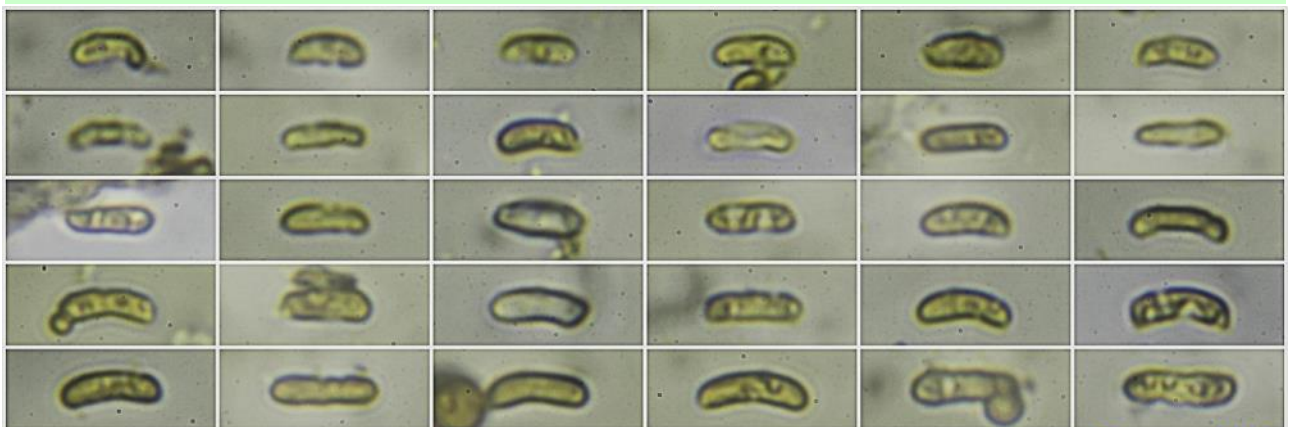
Basidios cilíndricos a claviformes, tetraspóricos, no amiloides, con fibula basal, de (15,2-)15,7-20,8(-22,3) × (3,2-)3,5-4,6(-4,8) μm; N = 22; Me = 18,2 × 3,9 μm. **Basidiosporas** cilíndricas a alantoides, lisas, hialinas, gutuladas, de (6,0-)6,2-8,9(-13,3) × (1,8-)2,1-2,7 (-3,3) μm; Q = (2,3-)2,6-3,8(-5,5); N = 33; V = (11-)15-33(-76) μm³; Me = 7,6 × 2,4 μm; Qe = 3,2; Ve = 25 μm³. **Lisocistidios** de paredes gruesas, ligeramente amiloides, que se estrechan abruptamente hacia el ápice, con ápice redondeado y simétrico con incrustaciones cristalíferas, de (41,7-)73,9-85,5(-131,0) × (8,3-)8,4-11,7(-17,8) μm; N = 17; Me = 78,9 × 10,4 μm. **Sistema hifal** monomítico, con hifas ramificadas, septadas y fibuladas, no amiloides.



Basidios Rojo Congo SDS
 $(15,2-15,7-20,8(-22,3) \times (3,2-3,5-4,6(-4,8) \mu\text{m}; N = 22; Me = 18,2 \times 3,9 \mu\text{m}$

10 μm

A. Basidios.

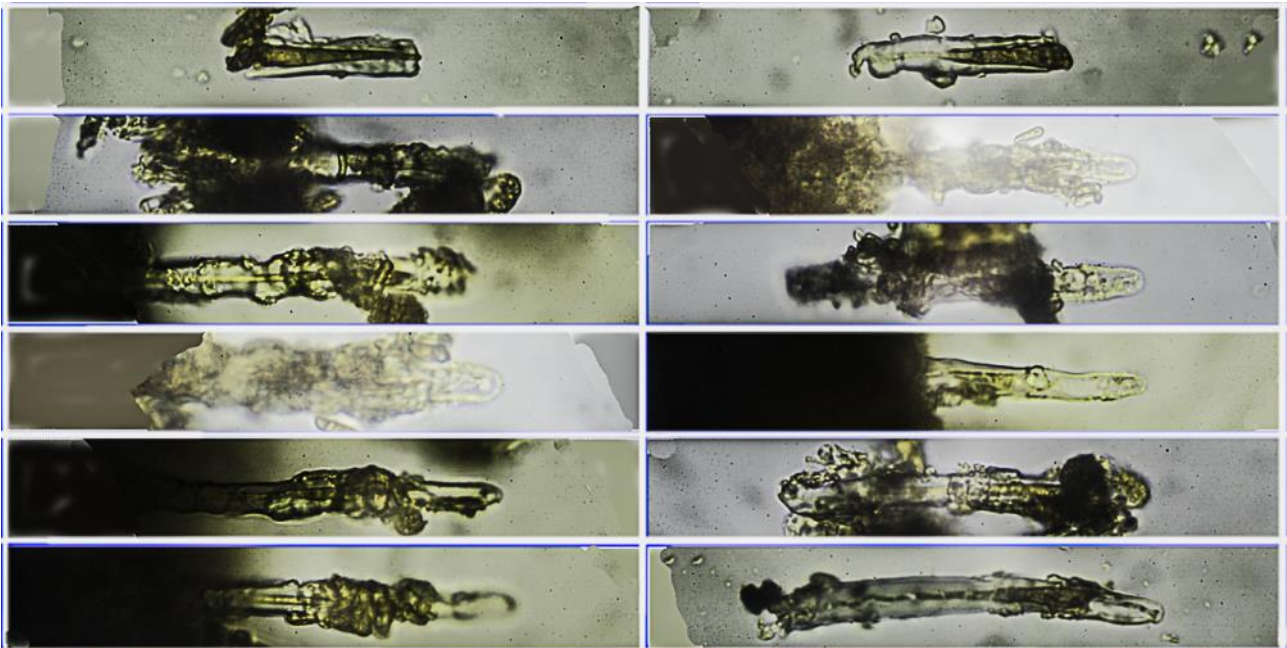


$(6,0-6,2-8,9(-13,3) \times (1,8-2,1-2,7(-3,3) \mu\text{m}; Q = (2,3-2,6-3,8(-5,5); N = 33$
 $V = (11-15-33(-76) \mu\text{m}^3; Me = 7,6 \times 2,4 \mu\text{m}; Qe = 3,2; Ve = 25 \mu\text{m}^3$

Esporas IKI1

10 μm

B. Esporas.



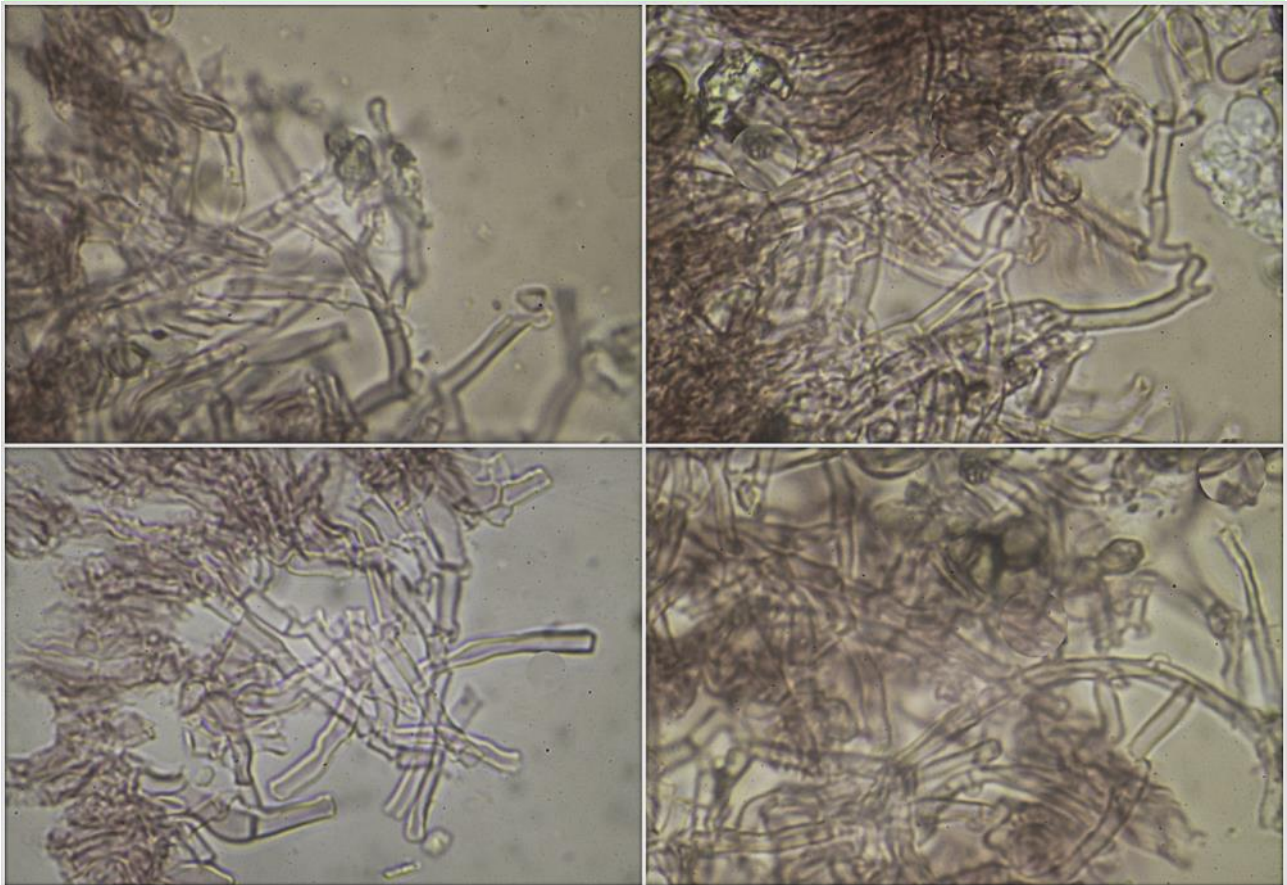
Cistidios IKI1

(41,7-)-73,9-85,5(-131,0) × (8,3-)-8,4-11,7(-17,8) μm; N = 17; Me = 78,9 × 10,4 μm

50 μm



C. Lisocistidios.



Sistema Hifal Rojo Congo SDS

20 μm



D. Sistema Hifal.

Observaciones

Se llega a esta especie con las claves de CORFIXEN & *al.* (1997: 136 como *Tubulicrinis gracillimus*) por sus lisocistidios no claramente capitados, cilíndricos y con ápice redondeado y simétrico, con más de 6 µm de ancho, muy ligeramente amiloides, esporas cilíndricas a alantoides, con Q > 2,5, basidios e hifas no amiloides. *Tubulicrinis medius* (Bourdot & Galzin) Oberw. tiene los lisocistidios fuertemente amiloides (CORFIXEN & *al.*, 1997: 139).

Especie recolectada y determinada por Josué de Esteban a quien agradecemos sus fotos y comentarios.

Otras descripciones y fotografías

- CORFIXEN P., F.E. ECKBLAD, N. HALLENBERG, E.B. HANSEN †, L. HARMSSEN †, K. HAUERSLEV, K. HOILAND, M. JEPSON, A. KÄÄRIK, L. KERS, H. KANUDSEN, M. LANGE, J.A. NANNFELDT †, T. NIEMELÄ, O. PERSSON, J.H. PETERSEN, P. ROBERTS, A. STRID, S. SUNHEDE, A.E. TORKELSEN, T. ULVINEN & J. VESTERHOLT (1997) *Heterobasidioid, Aphylophoroid and Gasteromycetoid Basidiomycetes. Nordic Macromycetes Vol. 3.* Nordswamp. Copenhagen. Pág. 136 como *Tubulicrinis gracillimus*.
- GBIF (2023). https://www.gbif.org/occurrence/search?q=tubulicrinus%20glebulosus&publishing_country=ES&state_province=Andalucia&advanced=1. Consultada 20230927 12.45 hora española.
- MORENO ARROYO B. (Coordinador) (2004). *Inventario Micológico Básico de Andalucía*. Consejería de Medio Ambiente, Junta de Andalucía, Córdoba. 678 pp.

Salvo indicación en contrario, las fotos están realizadas por Demetrio Merino.